

Elektrische Eigenschaften**Electrical properties****Höchstzulässige Werte****Maximum rated values**

Periodische Vorwärts- und Rückwärts-Spitzenperrspannung	repetitive peak forward off-state and reverse voltages	$t_{vj} = -40^\circ\text{C} \dots t_{vj\ max}$	V_{DRM}, V_{RRM}	3600, 3800	V
Vorwärts-Stoßspitzen-perrspannung	non repetitive peak forward off-state voltage	$t_{vj} = -40^\circ\text{C} \dots t_{vj\ max}$	$V_{DSM} = V_{DRM}$	4000, 4200	V
Rückwärts-Stoßspitzen-perrspannung	non repetitive peak reverse voltage	$t_{vj} = +25^\circ\text{C} \dots t_{vj\ max}$	$V_{RSM} = V_{RRM}$	+ 100	V
Durchlaßstrom-Grenzeffektivwert	RMS on-state current	$t_C = 85^\circ\text{C}$	I_{TRMSM}	1750	A
Dauergrenzstrom	average on-state current	$t_C = 55^\circ\text{C}$	I_{TAVM}	730	A
Stoßstrom-Grenzwert	surge current	$t_{vj} = 25^\circ\text{C}, t_p = 10\text{ ms}$	I_{TSM}	1100	A
Grenzlastintegral	I^2t -value	$t_{vj} = t_{vj\ max}, t_p = 10\text{ ms}$	I^2t	16500	A
Kritische Stromsteilheit	critical rate of rise of on-state current	$t_{vj} = 25^\circ\text{C}, t_p = 10\text{ ms}$	$(di/dt)_{cr}$	15000	A
Kritische Spannungssteilheit	critical rate of rise of off-state voltage	$t_{vj} = t_{vj\ max}, t_p = 10\text{ ms}$	$(dv/dt)_{cr}$	1361000	A ² s
		$f = 50\text{ Hz}, i_{GM} = 1\text{ A}, di_G/dt = 1\text{ A}/\mu\text{s}$		1125000	A ² s
		$t_{vj} = t_{vj\ max}, v_D = 67\% V_{DRM}$		50	A/ μs
				1000	V/ μs

Charakteristische Werte**Characteristic values**

Durchlaßspannung	on-state voltage	$t_{vj} = t_{vj\ max}, I_T = 3300\text{ A}$	v_T	max.	3,1	V
Schleusenspannung	threshold voltage	$t_{vj} = t_{vj\ max}$	$V_{T(TO)}$		1,15	V
Ersatzwiderstand	slope resistance	$t_{vj} = t_{vj\ max}$	r_T		0,59	m Ω
Zündstrom	gate trigger current	$t_{vj} = 25^\circ\text{C}, v_D = 6\text{ V}$	I_{GT}	max.	300	mA
Zündspannung	gate trigger voltage	$t_{vj} = 25^\circ\text{C}, v_D = 6\text{ V}$	V_{GT}	max.	2,5	V
Nicht zündender Steuerstrom	gate non-trigger current	$t_{vj} = t_{vj\ max}, v_D = 6\text{ V}$	I_{GD}	max.	20	mA
Nicht zündende Steuerspannung	gate non-trigger voltage	$t_{vj} = t_{vj\ max}, v_D = 0,5 V_{DRM}$	V_{GD}	max.	10	mA
Haltestrom	holding current	$t_{vj} = t_{vj\ max}, v_D = 0,5 V_{DRM}$	I_H	max.	300	mA
Einraststrom	latching current	$t_{vj} = 25^\circ\text{C}, v_D = 12\text{ V}, R_A = 4,7\Omega$	I_L	max.	2000	mA
Vorwärts- u. Rückwärts-Sperrstrom	forward off-state and reverse currents	$i_{GM} = 1\text{ A}, di_G/dt = 1\text{ A}/\mu\text{s}, t_g = 20\text{ }\mu\text{s}$	i_D, i_R	max.	100	mA
Zündverzug	gate controlled delay time	$t_{vj} = 25^\circ\text{C}, i_{GM} = 1\text{ A}, di_G/dt = 1\text{ A}/\mu\text{s}$	t_{gd}	max.	1,6	μs
Freiwerdezeit	circuit commutated turn-off time	siehe Techn. Erl./see Techn. Inf.		typ.	450	μs

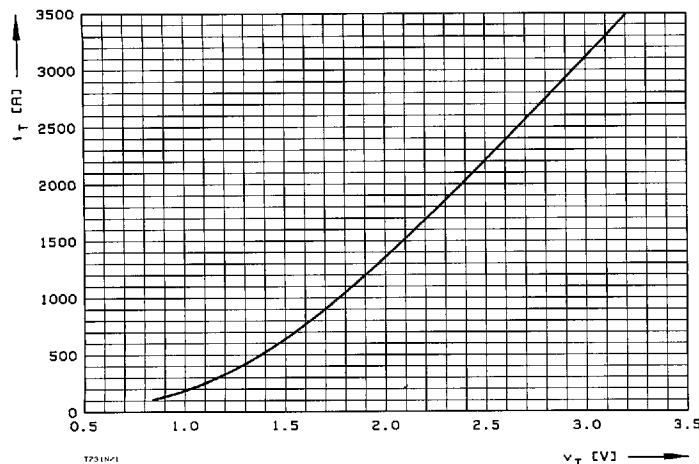
Thermische Eigenschaften**Thermal properties**

Innerer Wärmewiderstand für beidseitige Kühlung	thermal resistance, junction to case for two-sided cooling	$\Theta = 180^\circ\text{ el, sin}$ DC	R_{thJC}	max.	0,0215 °C/W
für anodenseitige Kühlung	for anode-sided cooling	$\Theta = 180^\circ\text{ el, sin}$ DC	$R_{thJC(A)}$	max.	0,0200 °C/W
für kathodenseitige Kühlung	for cathode-sided cooling	$\Theta = 180^\circ\text{ el, sin}$ DC	$R_{thJC(K)}$	max.	0,0375 °C/W
Übergangs-Wärmewiderstand	thermal resistance, case to heatsink	beidseitig/two-sided einseitig/one-sided	R_{thCK}	max.	0,0360 °C/W
Höchstzul. Sperrschiichttemperatur	max. junction temperature		$t_{vj\ max}$		0,0465 °C/W
Betriebstemperatur	operating temperature		$t_{C op}$		0,0450 °C/W
Lagertemperatur	storage temperature		t_{Stg}		0,008 °C/W
					120°C
					-40 ... + 120°C
					-40 ... + 150°C

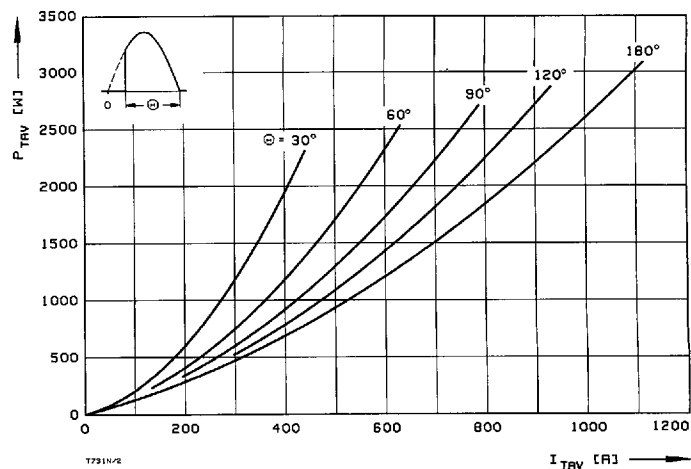
Mechanische Eigenschaften**Mechanical properties**

Si-Element mit Druckkontakt	Si-pellet with pressure contact		F	15 ... 24 kN
Anpreßkraft	clamping force		G	550 g
Gewicht	weight			25 mm
Kriechstrecke	creepage distance			C
Feuchtekategorie	humidity classification	DIN 40040		50 m/s ²
Schwingfestigkeit	vibration resistance	$f = 50\text{ Hz}$		Seite/page 229
Maßbilder	outlines			

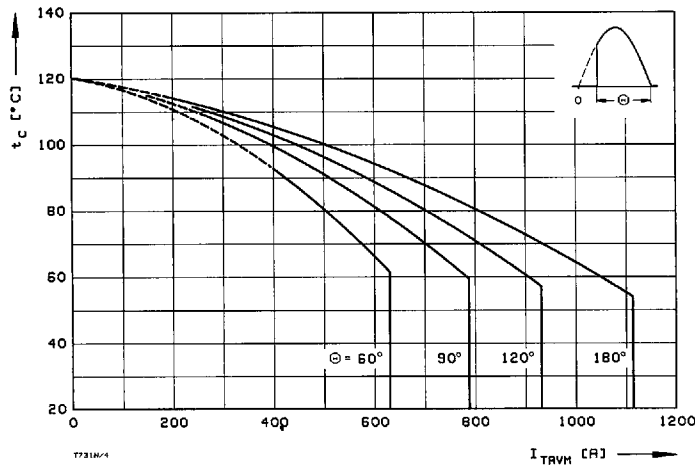
T 731 N



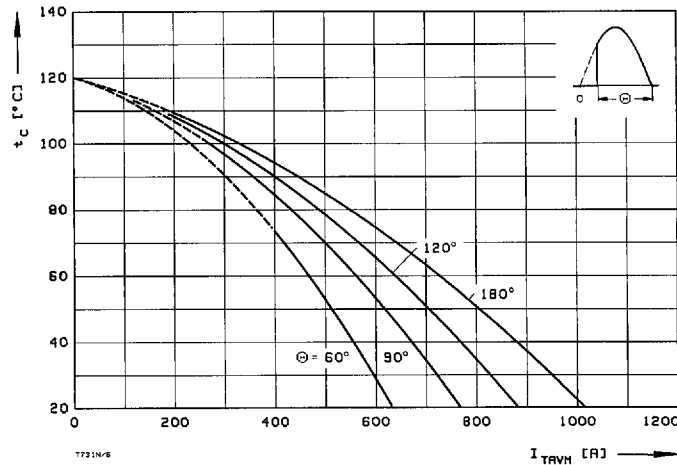
Bild/Fig. 1
Durchlaßkennlinie/On-state characteristic $I_T = f(V_T)$, $t_{vj} = t_{vj \max}$



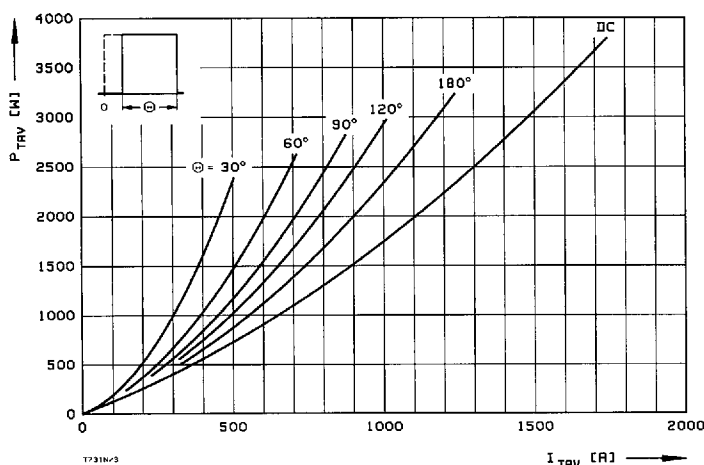
Bild/Fig. 2
Durchlaßverlustleistung/On-state power loss $P_{TAV} = f(I_{TAV})$
Parameter: Stromflußwinkel/Current conduction angle Θ



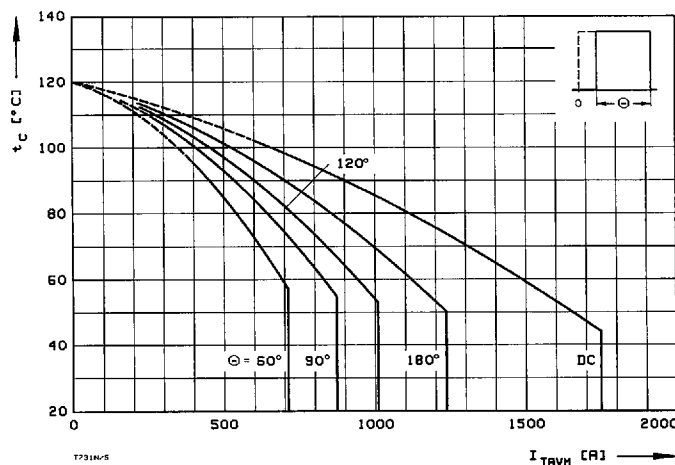
Bild/Fig. 3
Höchstzulässige Gehäusetemperatur/Max. allowable case temperature
 $t_C = f(I_{TAVM})$
Beidseitige Kühlung/Two-sided cooling
Parameter: Stromflußwinkel/Current conduction angle Θ



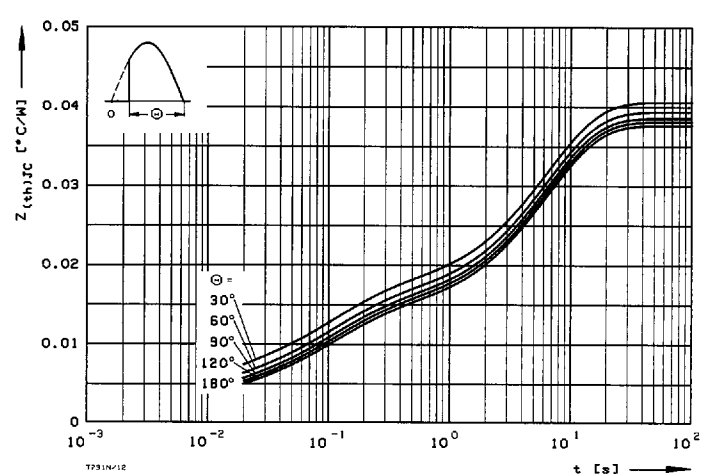
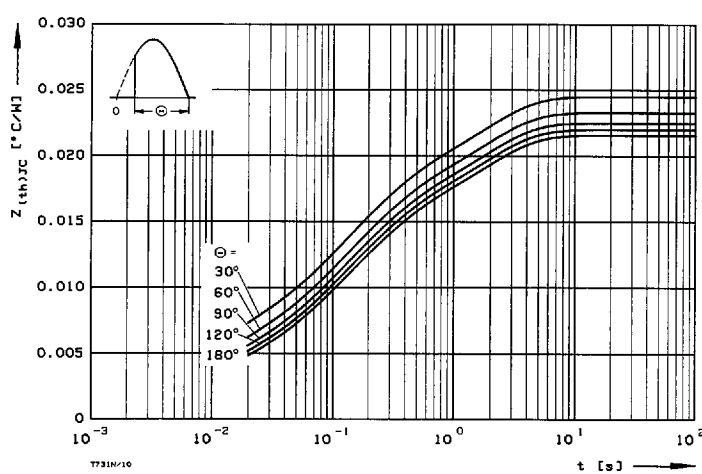
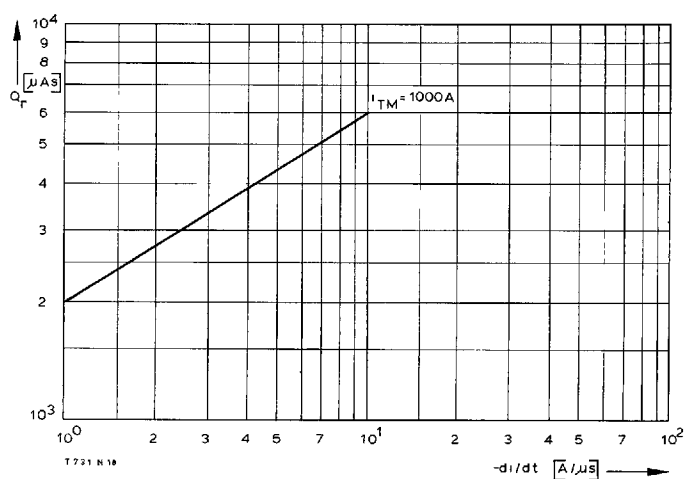
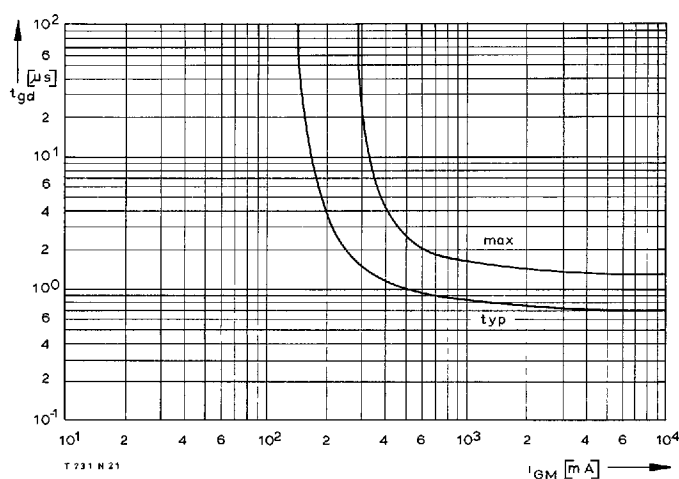
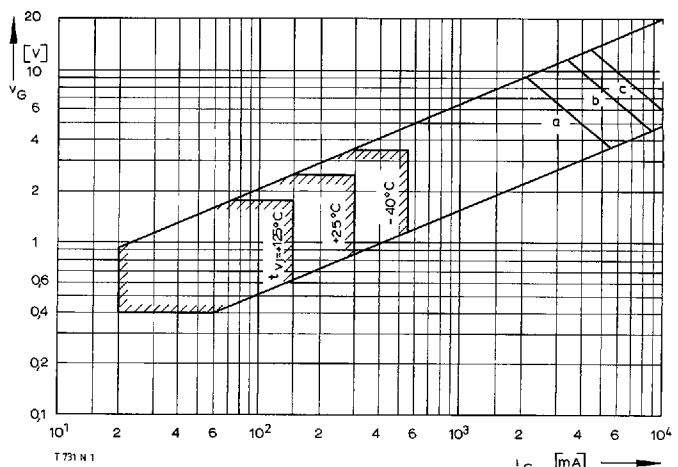
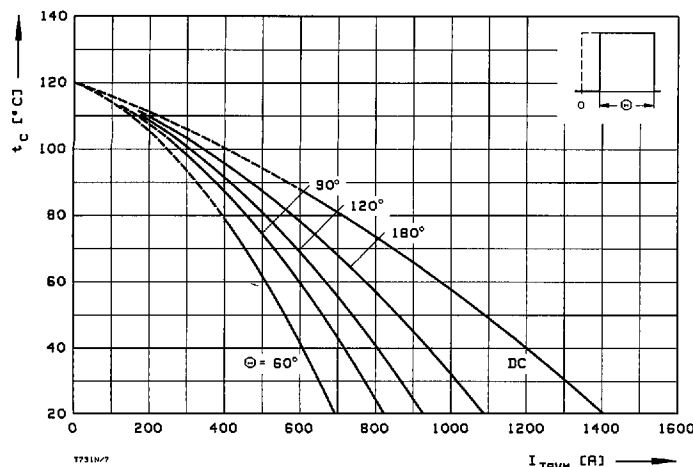
Bild/Fig. 4
Höchstzulässige Gehäusetemperatur/Max. allowable case temperature
 $t_C = f(I_{TAVM})$
Anodenseitige Kühlung/Anode-sided cooling
Parameter: Stromflußwinkel/Current conduction angle Θ

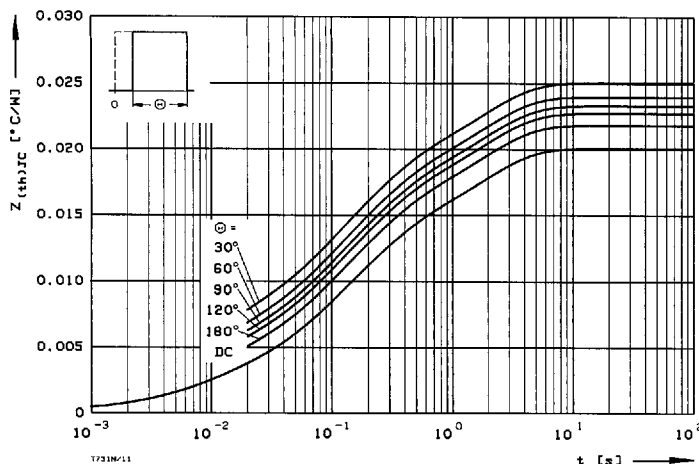


Bild/Fig. 5
Durchlaßverlustleistung/On-state power loss $P_{TAV} = f(I_{TAV})$
Parameter: Stromflußwinkel/Current conduction angle Θ

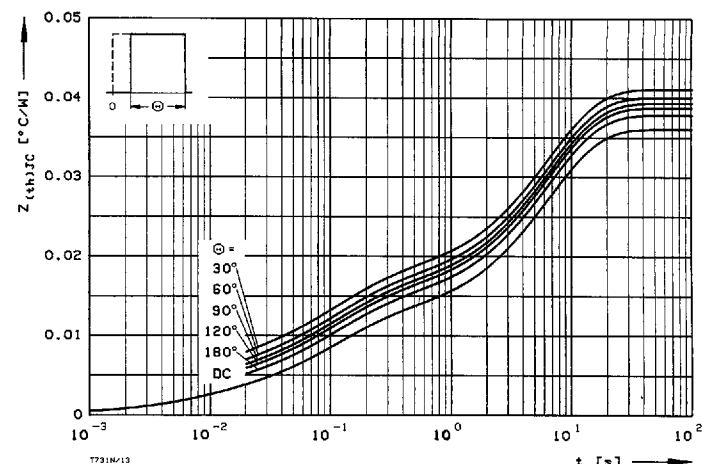


Bild/Fig. 6
Höchstzulässige Gehäusetemperatur/Max. allowable case temperature
 $t_C = f(I_{TAVM})$
Beidseitige Kühlung/Two-sided cooling
Parameter: Stromflußwinkel/Current conduction angle Θ





Bild/Fig. 13
Transienter innerer Wärmewiderstand/Transient thermal impedance
 $Z_{(th)JC} = f(t)$
Beidseitige Kühlung/Two-sided cooling
Parameter: Stromflußwinkel/Current conduction angle Θ



Bild/Fig. 14
Transienter innerer Wärmewiderstand/Transient thermal impedance
 $Z_{(th)JC} = f(t)$
Anodenseitige Kühlung/Anode-sided cooling
Parameter: Stromflußwinkel/Current conduction angle Θ

beidseitig/two-sided

Pos. n	1	2	3	4	5
$R_{thn} \text{ [} ^\circ\text{C/W} \text{]}$	0,0001	0,0019	0,0041	0,0072	0,0067
$\tau_n \text{ [s]}$	0,0008	0,0073	0,062	0,204	1,8

anodenseitig/anode-sided

Pos. n	1	2	3	4	5
$R_{thn} \text{ [} ^\circ\text{C/W} \text{]}$	0,0001	0,0019	0,0041	0,0061	0,0238
$\tau_n \text{ [s]}$	0,0008	0,0073	0,062	0,162	6,5

kathodenseitig/cathode-sided

Pos. n	1	2	3	4	5
$R_{thn} \text{ [} ^\circ\text{C/W} \text{]}$	0,0001	0,0019	0,0041	0,0065	0,0324
$\tau_n \text{ [s]}$	0,0008	0,0073	0,062	0,185	6,8

Analytische Funktion/Analytical function (DC)

$$Z_{thJC} = \sum_{n=1}^{n_{max}} R_{thn} (1 - e^{-t/\tau_n})$$